CLASSES DE CHERN DES VARIÉTÉS UNIRÉGLÉES

STÉPHANE DRUEL

1. Introduction

Soient X une variété compacte de type kählérien et E est un fibré vectoriel complexe de rang r sur X.

Le résultat suivant montre qu'en général peu de choses peuvent être dites de ses classes de Chern : si X est une surface algébrique et si un entier r > 1, $c_1 \in NS(X)$ et $c_2 \in H^4(X, \mathbb{Z})$ sont donnés alors il existe un fibré vectoriel algébrique de rang r sur X de classes de Chern c_1 et c_2 .

Les exemples suivants montrent que sous certaines hypothèses, il existe des contraintes sur les classes de Chern de E.

Si E possède une métrique d'Hermite-Einstein alors l'inégalité de Bogomolov-Lübke

$$\int_{X} (2rc_2(E) - (r-1)c_1(E)^2) \wedge \omega^{n-2} \ge 0$$

est satisfaite (voir [Lü82]). Si l'inégalité précédente est une égalité alors E est projectivement plat.

Si E est numériquement effectif alors, pour tout polynôme de Schur $P_{\lambda} \in \mathbf{Z}[c_1(E), \dots, c_r(E)]$, où λ est une partition d'un entier quelconque k en parts $\leq r$ (voir [DPS94] Theorem 2.5),

$$\int_{\mathcal{X}} \mathbf{P}(c(\mathbf{E})) \wedge \omega^{n-k} \ge 0.$$

Si X possède une métrique de Kähler-Einstein et si ω est une forme de Kähler-Einstein alors sa première classe de Chern $c_1(X) \in H^2(X, \mathbb{C})$ est négative, nulle ou positive et l'inégalité de Miyaoka-Yau

$$\int_{X} (2(n+1)c_2(X) - nc_1(X)^2) \wedge \omega^{n-2} \ge 0$$

est satisfaite (voir [CO75]). Si l'inégalité précédente est une égalité, alors le revêtement universel de X est isomorphe à \mathbf{P}^n , \mathbf{C}^n ou \mathbf{B}^n (voir [Ti02] Theorem 2.13).

Nous démontrons des résultats d'effectivité analogues au dernier de ceux que nous avons rappelés lorsque X est projective et uniréglée.

2. Enoncés des résultats

2.1. Notations et hypothèses. Soit X une variété algébrique connexe, projective et lisse sur le corps C des nombres complexes. Supposons X uniréglée, autrement dit, supposons que X soit dominée par un produit $\mathbf{P}^1 \times \mathbf{Y}$ où Y est une variété algébrique complexe de dimension $\dim(\mathbf{X}) - 1$.

Soit $H \subset \text{Hom-b}(\mathbf{P}^1, X)$ une composante irréductible telle que le morphisme d'évaluation $\mathbf{P}^1 \times H \longrightarrow X$ soit dominant, autrement dit, une famille couvrante de courbes rationnelles. Soient $x \in X$ et $H_x := \text{Hom}(\mathbf{P}^1, X, 0 \mapsto x) \cap H$. Soit $G_0 \subset \text{PGL}(2)$ le stabilisateur de $0 \in \mathbf{P}^1$. Le groupe G_0 opère librement sur H_x par la formule $g \cdot f = f \circ g^{-1}$ où $g \in G_0$ et $[f] \in H_x$. Il

opère diagonalement sur $\mathbf{P}^1 \times \mathbf{H}_x$. Soient $\mathbf{V}_x := \mathbf{H}_x //\mathbf{G}_0$ et $\mathbf{U}_x := \mathbf{P}^1 \times \mathbf{H}_x //\mathbf{G}_0$ les quotients géométriques et π_x et ι_x

$$\begin{array}{ccc}
U_x & \xrightarrow{\iota_x} & X \\
 & & \downarrow & \\
V_x & & & \\
\end{array}$$

les morphismes naturels. Supposons que pour $x \in X$ général, le schéma V_x soit propre sur C, autrement dit, supposons que H soit une famille couvrante minimale de courbes rationnelles.

Remarque 2.2. Il suffit, par exemple, de considérer une famille couvrante de courbes rationnelles de degré minimal relativement à une polarisation donnée.

Soit $\ell := c_1(X) \cdot f_* \mathbf{P}^1 \geq 2$ où $[f] \in H$. Les principaux résultats de ce travail sont les suivants.

Théorème (voir Théorème 5.3). Sous les hypothèses 2.1, si $x \in X$ est général et si U'_x est une composante irréductible de U_x alors le cycle

$$\iota_{x*}(\mathbf{U}'_x) \cdot (c_2(\mathbf{X}) - \frac{\ell - 1}{2\ell} c_1(\mathbf{X})^2) \in \mathbf{A}_{\ell - 3}(\mathbf{X}) \otimes \mathbf{Q}$$

est effectif.

Théorème (voir Théorème 5.4). Sous les hypothèses 2.1, si $x \in X$ est général et si U'_x est une composante irréductible de U_x alors le cycle

$$\iota_{x*}(\mathbf{U}'_x) \cdot (c_2(\mathbf{X}) - (\frac{\ell-1}{2\ell} + \frac{1}{\ell^2})c_1(\mathbf{X})^2) \in \mathbf{A}_{\ell-3}(\mathbf{X}) \otimes \mathbf{Q}$$

est effectif sauf s'il existe un morphisme fini $\widehat{X} \longrightarrow X$ et une application rationnelle φ : $X \longrightarrow Z$ dont les fibres générales sont des espaces projectifs sur C de dimension $\ell-1$, tels que les courbes rationnelles considérées soient les images dans X des droites contenues dans les fibres de φ .

Proposition (voir Proposition 5.5). Sous les hypothèses 2.1, le cycle

$$\iota_{x*}(\mathbf{U}_x)\cdot(c_2(\mathbf{X})-\frac{\ell-1}{2\ell}c_1(\mathbf{X})^2)\in\mathbf{A}_{\ell-3}(\mathbf{X})\otimes\mathbf{Q}$$

est nul pour $x \in X$ général si et seulement s'il existe un morphisme fini $\widehat{X} \longrightarrow X$ et une application rationnelle $\varphi: \widehat{X} \longrightarrow Z$ dont les fibres générales sont des espaces projectifs sur C de dimension $\ell-1$, tels que les courbes rationnelles considérées soient les images dans X des droites contenues dans les fibres de φ .

Remarques 2.3. Si ℓ est un entier ≥ 2 alors $c_2(Q_{\ell-1}) - (\frac{\ell-1}{2\ell} + \frac{1}{\ell^2})c_1(Q_{\ell-1})^2 = 0$ où $Q_{\ell-1} \subset \mathbb{R}$

 \mathbf{P}^{ℓ} est une quadrique lisse de dimension $\ell-1$ et $c_2(\mathbf{P}^{\ell-1})-(\frac{\ell-1}{2\ell})c_1(\mathbf{P}^{\ell-1})^2=0$. Si C est une courbe connexe, projective et lisse sur \mathbf{C} et si $\mathbf{X}_{\ell}:=\mathbf{Q}_{\ell-1}\times\mathbf{C}$ alors

$$c_2(X_\ell) - (\frac{\ell-1}{2\ell} + \frac{1}{\ell^2})c_1(X_\ell)^2 = \frac{\ell-1}{\ell^2}c_1(Q_{\ell-1}) \cdot c_1(C).$$

Si le genre de C est ≥ 2 et si $\ell \geq 3$ alors le cycle

$$c_2(\mathbf{X}_{\ell}) - (\frac{\ell-1}{2\ell} + \frac{1}{\ell^2})c_1(\mathbf{X}_{\ell})^2$$

n'est pas effectif dans $A_{\ell-3}(X_{\ell}) \otimes \mathbf{Q}$.

Question 2.4. Sous les hypothèses 2.1, si pour un point $x \in X$ général le cycle

$$\iota_{x*}(\mathbf{U}_x) \cdot (c_2(\mathbf{X}) - (\frac{\ell-1}{2\ell} + \frac{1}{\ell^2})c_1(\mathbf{X})^2) \in \mathbf{A}_{\ell-3}(\mathbf{X}) \otimes \mathbf{Q}$$

est nul, existe-t-il un morphisme fini $\widehat{X} \longrightarrow X$ et une application rationnelle $\varphi : \widehat{X} \longrightarrow Z$ dont les fibres générales sont des quadriques lisses sur \mathbf{C} de dimension $\ell-1$, tels que les courbes rationnelles considérées soient les images dans X des droites contenues dans les fibres de φ ?

Si $x \in X$ est général, V_x est lisse sur ${\bf C}$ de dimension $\ell-2$ (voir paragraphe 3) mais pas nécéssairement connexe. La description globale du fibré tangent de V_x et le calcul de $c_1(V_x)$ sont également donnés.

Proposition (voir Proposition 3.8). Le fibré tangent du schéma V_x est naturellement isomorphe au fibré

$$\pi_{x*}((\iota_x^* \mathrm{T}_X/\mathrm{T}_{\pi_x})(-\sigma_x)),$$

où l'on a identifié $T_{\pi_x} \subset T_{U_x}$ à son image dans $\iota_x^* T_X$ via la différentielle de l'application ι_x .

Proposition (voir Proposition 4.2). La première classe de Chern de V_x est donnée par la formule

$$c_1(V_x) = \pi_{x*} \iota_x^* ((\frac{\ell+1}{2\ell} - \frac{1}{\ell^2}) c_1(X)^2 - c_2(X)) \in \text{Pic}(V_x) \otimes \mathbf{Q}.$$

3. Fibré tangent du schéma V_x

3.1. Soit X une variété connexe, projective et lisse sur C. Soit n la dimension de X et supposons $n \geq 1$. Soient $\operatorname{Hom}(\mathbf{P}^1, X)$ le schéma localement quasi-projectif sur C des morphismes de \mathbf{P}^1 vers X et $\operatorname{Hom}(\mathbf{P}^1, X, 0 \mapsto x) \subset \operatorname{Hom}(\mathbf{P}^1, X)$ le sous-schéma fermé des morphismes $f: \mathbf{P}^1 \longrightarrow X$ tels que f(0) = x où $x \in X$ est donné (voir [Mo79] Proposition 1). Soient

$$\operatorname{Hom-b}(\mathbf{P}^1,X)\subset\operatorname{Hom}(\mathbf{P}^1,X)$$

l'ouvert des morphismes birationnels sur leurs images et

$$\operatorname{Hom-b}(\mathbf{P}^1, X, 0 \mapsto x) := \operatorname{Hom}(\mathbf{P}^1, X, 0 \mapsto x) \cap \operatorname{Hom-b}(\mathbf{P}^1, X).$$

Un morphisme non constant $f: \mathbf{P}^1 \longrightarrow X$ est dit libre si $h^1(\mathbf{P}^1, f^*T_X(-1)) = 0$, autrement dit, si $f^*T_X \simeq \mathcal{O}_{\mathbf{P}^1}(a_1) \oplus \cdots \oplus \mathcal{O}_{\mathbf{P}^1}(a_n)$ avec $a_1 \geq \cdots \geq a_n \geq 0$ (voir [Ko96] Definition II 3.1). Soient enfin

$$\operatorname{Hom-l}(\mathbf{P}^1,X)\subset\operatorname{Hom}(\mathbf{P}^1,X)$$

l'ouvert des morphismes libres (voir [Ko96] Corollary II 3.5.4) et

$$\operatorname{Hom-l}(\mathbf{P}^1, X, 0 \mapsto x) := \operatorname{Hom}(\mathbf{P}^1, X, 0 \mapsto x) \cap \operatorname{Hom-l}(\mathbf{P}^1, X).$$

Le schéma $\operatorname{Hom-l}(\mathbf{P}^1, X, 0 \mapsto x)$ est lisse sur \mathbf{C} de dimension $h^0(\mathbf{P}^1, f^*T_X \otimes I_0)$ en $[f] \in \operatorname{Hom-l}(\mathbf{P}^1, X, 0 \mapsto x)$ (voir [Mo79] Proposition 2).

3.2. Supposons X uniréglée. Soient $H \subset \text{Hom-b}(\mathbf{P}^1, X)$ une famille couvrante de courbes rationnelles et $H_x := \text{Hom}(\mathbf{P}^1, X, 0 \mapsto x) \cap H$ où $x \in X$ est donné. Soient ev_x et q_x

$$\begin{array}{ccc} \mathbf{P}^1 \times \mathbf{H}_x & \xrightarrow{ev_x} & \mathbf{X} \\ & & \\ q_x \Big\downarrow & & \\ & & & \\ & & & \\ & & & \\ & & & \\ & & & \\ & & & \\ & & & \\ \end{array}$$

les morphismes naturels.

Lemme 3.3 (voir [De01] Proposition 4.14). Si $x \in X$ est général alors les morphismes paramétrés par H_x sont libres.

Le schéma H_x est en particulier lisse sur \mathbb{C} de dimension $h^0(\mathbf{P}^1, f^*T_X \otimes I_0)$ en $[f] \in H_x$.

Proposition 3.4. Si $x \in X$ est général alors le fibré tangent du schéma H_x est naturellement isomorphe au fibré

$$q_{x*}(ev_x^*T_X(-\{0\}\times H_x).$$

Démonstration. La restriction de la différentielle de ev_x à $q_x^*T_{H_x}$ est identiquement nulle le long de $\{0\} \times H_x \subset \mathbf{P}^1 \times H_x$ et définit donc un morphisme

$$q_x^* T_{H_x} \longrightarrow ev_x^* T_X(-\{0\} \times H_x)$$

et, en prenant les images directes par q_x , un morphisme

$$T_{H_x} \longrightarrow q_{x*}(ev_x^*T_X(-\{0\} \times H_x))$$

dont nous allons montrer qu'il est l'isomorphisme cherché.

L'espace tangent de Zariski à H_x en $[f] \in H_x$ s'identifie naturellement à $H^0(\mathbf{P}^1, f^*T_X \otimes I_0)$ (voir [Mo79] Proposition 2) et la différentielle de l'application ev_x en $(t, f) \in \mathbf{P}^1 \times H_x$ (voir [Ko96] Proposition II 3.4) est l'application

$$T_{\mathbf{P}^1} \otimes k(t) \oplus H^0(\mathbf{P}^1, f^*T_X \otimes I_0) \longrightarrow T_X \otimes k(f(t)) \simeq (f^*T_X) \otimes k(t)$$

donnée par

$$(v,s) \mapsto \mathrm{d}f_t(v) + s(t),$$

où $v \in T_{\mathbf{P}^1} \otimes \mathrm{k}(t)$ et $s \in \mathrm{H}^0(\mathbf{P}^1, f^*T_X \otimes \mathrm{I}_0)$. La composée de l'application

$$\mathrm{H}^0(\mathbf{P}^1, f^*\mathrm{T}_X \otimes \mathrm{I}_0) \simeq \mathrm{T}_{\mathrm{H}_x} \otimes \mathrm{k}(f) \longrightarrow (q_{x*}(ev_x^*\mathrm{T}_X(-\{0\} \times \mathrm{H}_x)) \otimes \mathrm{k}(f)$$

et de l'application naturelle d'évaluation des sections

$$(q_{x*}(ev_x^*T_X(-\{0\}\times H_x))\otimes k(f)\longrightarrow H^0(\mathbf{P}^1, f^*T_X\otimes I_0)$$

est donc l'identité de $H^0(\mathbf{P}^1, f^*T_X \otimes I_0)$.

Il reste à remarquer que la formation de l'image directe $q_{x*}(ev_x^*T_X(-\{0\}\times H_x))$ commute aux changements de bases, autrement dit, que l'application naturelle

$$(q_{x*}(ev_x^*T_X(-\{0\}\times H_x))\otimes k(f)\longrightarrow H^0(\mathbf{P}^1,f^*T_X\otimes I_0)$$

est un isomorphisme (voir [Ha77] III Theorem 12.11).

Remarques 3.5. L'énoncé précédent reste vrai si $x \in X$ est quelconque et si H_x est une composante connexe de Hom-l($\mathbf{P}^1, X, 0 \mapsto x$).

Soit H une composante connexe de Hom- $l(\mathbf{P}^1, \mathbf{X})$ et soient ev et q

les morphismes naturels. La preuve de la proposition suivante est analogue à celle de la proposition 3.4.

Proposition 3.6. Le fibré tangent du schéma H est naturellement isomorphe au fibré $q_*ev^*T_X$.

3.7. Soient G := PGL(2) et $G_0 \subset G$ le stabilisateur de $0 \in \mathbf{P}^1$. Le groupe G_0 opère librement sur H_x par la formule $g \cdot f = f \circ g^{-1}$ où $g \in G_0$ et $[f] \in H_x$ (voir [Mo79] Lemma 9). Il opère diagonalement sur $\mathbf{P}^1 \times H_x$. Les quotients géométriques

$$V_x := H_x//G_0$$
 et $U_x := \mathbf{P}^1 \times H_x//G_0$

existent et les variétés H_x et $\mathbf{P}^1 \times H_x$ sont des fibrés principaux de groupe G_0 au dessus des quotients V_x et U_x respectivement (*voir* [Mo79] Lemma 9). Les variétés V_x et U_x sont en particulier lisses sur \mathbf{C} si $x \in X$ est général. Soient π_x et ι_x

$$\begin{array}{ccc}
U_x & \xrightarrow{\iota_x} & X \\
\pi_x \downarrow & & \\
V_x & & & \\
\end{array}$$

les morphismes naturels : π_x est une fibration en droites projectives sur \mathbf{C} . Soit $\sigma_x \subset U_x$ la section de π_x , quotient géométrique de $\{0\} \times H_x$ par le groupe G_0 . La section σ_x est contractée par ι_x sur $x \in X$.

Proposition 3.8. Si $x \in X$ est général alors le fibré tangent du schéma V_x est naturellement isomorphe au fibré

$$\pi_{x*}((\iota_x^* \mathrm{T}_X/\mathrm{T}_{\pi_x})(-\sigma_x)),$$

où l'on a identifié $T_{\pi_x} \subset T_{U_x}$ à son image dans $\iota_x^* T_X$ via la différentielle de l'application ι_x .

 $D\acute{e}monstration$. Notons r_x et s_x

$$\begin{array}{c|c}
 & ev_x \\
\hline
P^1 \times H_x \xrightarrow{r_x} U_x \xrightarrow{\iota_x} X \\
\hline
q_x & \pi_x & \\
H_x \xrightarrow{s_x} V_x
\end{array}$$

les morphismes de passage au quotient. Le fibré vectoriel $s_x^* T_{V_x}$ s'identifie, via la différentielle de s_x , au conoyau de l'application

$$T_{s_x} \longrightarrow T_{H_x}$$
.

La différentielle de l'action de G_0 sur H_x en $(e, f) \in G_0 \times H_x$ est l'application

$$\mathrm{H}^0(\mathbf{P}^1,\mathrm{T}_{\mathbf{P}^1}\otimes\mathrm{I}_0)\oplus\mathrm{H}^0(\mathbf{P}^1,f^*\mathrm{T}_\mathrm{X}\otimes\mathrm{I}_0)\longrightarrow\mathrm{H}^0(\mathbf{P}^1,f^*\mathrm{T}_\mathrm{X}\otimes\mathrm{I}_0)$$

donnée par

$$(x,y)\mapsto y-f_*x,$$

où $x \in H^0(\mathbf{P}^1, T_{\mathbf{P}^1} \otimes I_0)$ et $y \in H^0(\mathbf{P}^1, f^*T_X \otimes I_0)$. La formation des images directes $q_{x*}T_{q_x}(-\{0\}\times H_x)$ et $q_{x*}(ev_x^*T_X(-\{0\}\times H_x))$ commute aux changements de bases, autrement dit, les applications naturelles

$$(q_{x*}T_{q_x}(-\{0\}\times H_x))\otimes k(f)\longrightarrow H^0(\mathbf{P}^1,T_{\mathbf{P}^1}\otimes I_0)$$

et

$$(q_{x*}(ev_x^*T_X(-\{0\}\times H_x))\otimes k(f)\longrightarrow H^0(\mathbf{P}^1,f^*T_X\otimes I_0)$$

sont des isomorphismes (voir [Ha77] III Theorem 12.11). Le sous-fibré vectoriel

$$T_{s_x} \subset T_{H_x}$$

s'identifie donc au sous-fibré vectoriel

$$q_{x*}T_{q_x}(-\{0\} \times H_x) \subset q_{x*}(ev_x^*T_X(-\{0\} \times H_x)),$$

via l'identification $T_{H_x} \simeq q_{x*}(ev_x^*T_X(-\{0\} \times H_x))$ donnée par la proposition 3.4. Ces identifications sont G_0 -équivariantes.

Le diagramme

$$\mathbf{P}^{1} \times \mathbf{H}_{x} \xrightarrow{r_{x}} \mathbf{U}_{x}$$

$$q_{x} \downarrow \qquad \qquad \pi_{x} \downarrow$$

$$\mathbf{H}_{x} \xrightarrow{s_{x}} \mathbf{V}_{x}$$

est un carré cartésien dans la catégorie des G_0 -schémas puisque l'action de G_0 sur H_x est libre. La restriction de la différentielle de r_x à T_{q_x} induit un isomorphisme équivariant de T_{q_x} sur $r_x^*T_{\pi_x}$. Le morphisme s_x étant plat, l'application

$$q_{x*}r_x^*(T_{\pi_x}(-\sigma_x)) \simeq q_{x*}T_{q_x}(-\{0\} \times H_x) \longrightarrow q_{x*}(ev_x^*T_X(-\{0\} \times H_x)) \simeq q_{x*}r_x^*(\iota_x^*T_X(-\sigma_x))$$

s'identifie donc à l'application

$$s_x^* \pi_{x*} T_{\pi_x}(-\sigma_x) \longrightarrow s_x^* \pi_{x*} ev_x^* T_X(-\sigma_x)$$

de façon équivariante. L'isomorphisme équivariant

$$s_x^* \mathrm{T}_{\mathrm{V}_x} \simeq s_x^* \pi_{x*} ((\iota_x^* \mathrm{T}_X / \mathrm{T}_{\pi_x}) (-\sigma_x))$$

descend en l'isomorphisme cherché

$$T_{V_x} \simeq \pi_{x*}((\iota_x^* T_X/T_{\pi_x})(-\sigma_x)).$$

Remarques 3.9. L'énoncé précédent reste vrai si $x \in X$ est quelconque et si H_x est une composante connexe de Hom- $l(\mathbf{P}^1, X, 0 \mapsto x) \cap \text{Hom-b}(\mathbf{P}^1, X)$.

Soit H une composante connexe de Hom-l(\mathbf{P}^1, X) \cap Hom-b(\mathbf{P}^1, X). Le groupe G opère librement sur H par la formule $g \cdot f = f \circ g^{-1}$ où $g \in G$ et $[f] \in H$ (voir [Mo79] Lemma 9). Il opère diagonalement sur $\mathbf{P}^1 \times H$. Les quotients géométriques V := H//G et $U := \mathbf{P}^1 \times H//G$ existent et les schémas H et $\mathbf{P}^1 \times H$ sont des fibrés principaux de groupe G au dessus des quotients V et U respectivement (voir [Mo79] Lemma 9). Les schémas V et U sont en particulier lisses sur C. Soient π et ι

$$\begin{array}{ccc}
U & \xrightarrow{\iota} & X \\
\pi \downarrow & & \\
V & & \end{array}$$

les morphismes naturels. Le morphisme π est une fibration en droites projectives sur C. La preuve de la proposition suivante est analogue à celle de la proposition 3.8.

Proposition 3.10. Le fibré tangent du schéma V est naturellement isomorphe au fibré $\pi_*(\iota^*T_X/T_\pi)$, où l'on a identifié $T_\pi \subset T_U$ à son image dans ι^*T_X via la différentielle de l'application ι .

4. Un calcul de classe de Chern

4.1. Nous reprenons les notations de la section précédente. Soit $x \in X$ un point général. Soit E_x le fibré vectoriel de rang 2 sur V_x donné par $E_x := \pi_{x*}\mathcal{O}_{U_x}(\sigma_x)$. La section σ_x de π_x correspond à la donnée d'un quotient inversible M_x de E_x . Le fibré E_x est une extension

$$0 \longrightarrow \mathcal{O}_{V_x} \longrightarrow E_x \longrightarrow M_x \longrightarrow 0$$

du fibré inversible M_x par le fibré trivial \mathcal{O}_{V_x} et $c_2(E_x) = 0$. Soit $L_x := M_x^{\otimes -1}$. Le schéma U_x s'identifie au fibré projectif $\mathbf{P}_{V_x}(E_x)$ au dessus de V_x et l'idéal de σ_x dans U_x s'identifie au fibré tautologique $\mathcal{O}_{\mathbf{P}_{V_x}(E_x)}(-1)$.

Soit $[f] \in \mathcal{H}_x$ et soit $\ell := c_1(\mathcal{X}) \cdot f_*(\mathbf{P}^1) \geq 2$. Le fibré en droites $\iota_x^* \omega_{\mathcal{X}}$ est de degré $-\ell$ sur les fibres de π_x et trivial sur σ_x . Il est donc isomorphe au produit de ℓ copies du fibré $\mathcal{O}_{\mathbf{P}_{\mathcal{V}_x}(\mathcal{E}_x)}(-1) \otimes \pi_x^* \mathcal{M}_x$.

Proposition 4.2. Si $x \in X$ est général alors la première classe de Chern de V_x est donnée par la formule

$$c_1(V_x) = \pi_{x*} \iota_x^* ((\frac{\ell+1}{2\ell} - \frac{1}{\ell^2}) c_1(X)^2 - c_2(X)) \in \text{Pic}(V_x) \otimes \mathbf{Q}.$$

Démonstration. Soient $A(V_x)$ l'anneau de Chow de V_x et $K(V_x)$ son anneau de Grothendieck. Soient ch: $K(V_x) \longrightarrow A(V_x)$ le caractère de Chern exponentiel et $td(T_{\pi_x}) \in A(U_x)$ la classe de Todd du fibré tangent T_{π_x} à π_x . La formule utile est la formule de Grothendieck-Riemann-Roch (voir [Fu98] Theorem 15.2):

$$\operatorname{ch}(\pi_{x!}((\iota_x^* \mathrm{T}_X/\mathrm{T}_{\pi_x})(-\sigma_x))) = \pi_{x*}(\operatorname{ch}((\iota_x^* \mathrm{T}_X/\mathrm{T}_{\pi_x})(-\sigma_x)) \cdot \operatorname{td}(\mathrm{T}_{\pi_x})) \in \mathrm{A}(\mathrm{V}_x) \otimes \mathbf{Q}.$$

Les morphismes paramétrés par H_x sont libres d'après le lemme 3.3. Le faisceau

$$R^1 \pi_{x*} ((\iota_x^* T_X / T_{\pi_x}) (-\sigma_x))$$

est donc nul,

$$\pi_{x!}((\iota_x^* T_X/T_{\pi_x})(-\sigma_x)) = \pi_{x*}((\iota_x^* T_X/T_{\pi_x})(-\sigma_x))$$

et, d'après la proposition 3.8.

$$\operatorname{ch}(\pi_{x!}((\iota_x^* \mathrm{T}_X/\mathrm{T}_{\pi_x})(-\sigma_x))) = \operatorname{ch}(\mathrm{T}_{\mathrm{V}_x}).$$

La première classe de Chern de V_x est donc donnée par la formule

$$c_1(V_x) = \operatorname{ch}(T_{V_x})_1 = \pi_{x*}(\operatorname{ch}((\iota_x^* T_X / T_{\pi_x})(-\sigma_x)) \cdot \operatorname{td}(T_{\pi_x}))_2.$$

Il reste à calculer la composante de codimension 2 du cycle

$$\operatorname{ch}((\iota_x^* \mathrm{T}_X/\mathrm{T}_{\pi_x})(-\sigma_x)) \cdot \operatorname{td}(\mathrm{T}_{\pi_x}) = (\iota_x^* \operatorname{ch}(\mathrm{T}_X) - \operatorname{ch}(\mathrm{T}_{\pi_x})) \cdot \operatorname{ch}(\mathcal{O}_{\mathrm{U}_x}(-\sigma_x)) \cdot \operatorname{td}(\mathrm{T}_{\pi_x}).$$

La formule

$$\iota_x^* c_1(X) = \ell(\sigma_x + \pi_x^* c_1(L_x))$$

ainsi que les formules

$$\iota_r^* c_1(\mathbf{X}) \cdot \sigma_x = 0$$

et

$$\sigma_x^2 = p^* c_1(\mathbf{E}_x) \cdot \sigma_x - c_2(\mathbf{E}_x) = -\sigma_x \cdot \pi_x^* c_1(\mathbf{L}_x) \quad (voir \text{ [Fu98] Remark 3.2.4})$$

donnent

$$\sigma_x \cdot \pi_x^* c_1(\mathbf{L}_x) = \frac{1}{\ell^2} \iota_x^* c_1(\mathbf{X})^2 - \pi_x^* c_1(\mathbf{L}_x)^2$$

et

$$\iota_x^* c_1(X) \cdot \pi_x^* c_1(L_x) = \frac{1}{\ell^2} \iota_x^* c_1(X)^2.$$

Le calcul donne (voir [Fu98] Example 3.2.3 et Example 3.2.4) :

$$\operatorname{ch}(\mathcal{O}_{U_{x}}(-\sigma_{x}))_{\leq 2} = 1 - \sigma_{x} + \frac{1}{2}\sigma_{x}^{2}$$

$$= 1 - \sigma_{x} + \frac{1}{2}(\pi_{x}^{*}c_{1}(L_{x})^{2} - \frac{1}{\ell^{2}}\iota_{x}^{*}c_{1}(X)^{2}),$$

$$\operatorname{ch}(T_{\pi_{x}})_{\leq 2} = 1 + 2\sigma_{x} + \pi_{x}^{*}c_{1}(L_{x}) + \frac{1}{2}(4\sigma_{x}^{2} + \pi_{x}^{*}c_{1}(L_{x})^{2} + 4\sigma_{x} \cdot \pi_{x}^{*}c_{1}(L_{x}))$$

$$= 1 + 2\sigma_{x} + \pi_{x}^{*}c_{1}(L_{x}) + \frac{1}{2}\pi_{x}^{*}c_{1}(L_{x})^{2},$$

$$\operatorname{td}(T_{\pi_{x}})_{\leq 2} = 1 + \sigma_{x} + \frac{1}{2}\pi_{x}^{*}c_{1}(L_{x}) + \frac{1}{12}(4\sigma_{x}^{2} + \pi_{x}^{*}c_{1}(L_{x})^{2} + 4\sigma_{x} \cdot \pi_{x}^{*}c_{1}(L_{x}))$$

$$= 1 + \sigma_{x} + \frac{1}{2}\pi_{x}^{*}c_{1}(L_{x}) + \frac{1}{12}\pi_{x}^{*}c_{1}(L_{x})^{2},$$

et

$$\iota_x^* \operatorname{ch}(\mathbf{T}_X)_{\leq 2} = \iota_x^* (n + c_1(\mathbf{X}) + \frac{1}{2} (c_1(\mathbf{X})^2 - 2c_2(\mathbf{X}))).$$

Finalement,

$$(\operatorname{ch}((\iota_x^* \mathrm{T}_X/\mathrm{T}_{\pi_x})(-\sigma_x)) \cdot \operatorname{td}(\mathrm{T}_{\pi_x}))_2 = \iota_x^* ((\frac{\ell+1}{2\ell} - \frac{1}{\ell^2})c_1^2(\mathrm{X}) - c_2(\mathrm{X})) + \frac{n-1}{12} \pi_x^* c_1(\mathrm{L}_x)^2$$

et

$$c_{1}(V_{x}) = \pi_{x*}(\operatorname{ch}((\iota_{x}^{*}T_{X}/T_{\pi_{x}})(-\sigma_{x})) \cdot \operatorname{td}(T_{\pi_{x}}))_{2}$$
$$= \pi_{x*}\iota_{x}^{*}((\frac{\ell+1}{2\ell} - \frac{1}{\ell^{2}})c_{1}^{2}(X) - c_{2}(X)) \in \operatorname{Pic}(V_{x}) \otimes \mathbf{Q}.$$

Remarques 4.3. Le calcul précédent reste vrai si $x \in X$ est quelconque et si H_x est une composante connexe de Hom-l($\mathbf{P}^1, X, 0 \mapsto x$) \cap Hom-b(\mathbf{P}^1, X).

L'extension

$$0 \longrightarrow \mathcal{O}_{V_x} \longrightarrow E_x \longrightarrow M_x \longrightarrow 0$$

est scindée. Soit α sa classe dans $H^1(V_x, L_x)$. La restriction $\pi_{x|\sigma_x}$ de π_x à σ_x est un isomorphisme de σ_x sur V_x . Nous noterons encore L_x le fibré $\pi_x^*|_{\sigma_x}L_x$ et α la classe $\pi_x^*|_{\sigma_x}\alpha \in H^1(\sigma_x, L_x)$.

Lemme 4.4 (voir [Dr04] Lemmes 3.2 et 3.3). La classe du fibré $\mathcal{O}_{\mathbf{P}_{V_x}(\mathbf{E}_x)}(1) \otimes \pi_x^* \mathbf{L}_x$ dans

$$\operatorname{Pic}(2\sigma_x) \simeq \operatorname{Pic}(\sigma_x) \oplus \operatorname{H}^1(\sigma_x, \operatorname{L}_x)$$

est $(0, \alpha)$.

Le fibré $(\mathcal{O}_{\mathbf{P}_{V_x}(\mathbf{E}_x)}(-1) \otimes \pi_x^* \mathbf{M}_x)^{\otimes \ell}$ est isomorphe au fibré $\iota_x^* \omega_{\mathbf{X}}$. La classe $\ell \alpha$ est donc nulle et α l'est aussi.

5. Démonstration des résultats

Lemme 5.1. Soit Y une variété algébrique connexe, projective et lisse sur C. Soit E un fibré vectoriel de rang 2 sur Y, extension d'un fibré en droites M par le fibré trivial \mathcal{O}_Y . Soient $Z := \mathbf{P}_Y(E)$ et $p: Z \longrightarrow Y$ le morphisme naturel. Soit $\sigma \subset Z$ la section de p correspondant au quotient inversible M de E. Supposons qu'il existe une variété algébrique X projective et lisse sur C et un morphisme $q: Z \longrightarrow X$ qui contracte σ sur un point de X. Si β est un cycle de codimension pure k > 0 sur X alors

$$q_*(\mathbf{Z}) \cdot \beta = q_*(p^*\alpha \cdot (\sigma - p^*c_1(\mathbf{M})))$$

où $\alpha = p_*q^*\beta$ est un cycle de codimension k-1 sur Y.

Démonstration. L'anneau A(Z) est un module libre sur A(Y) engendré par la classe fondamentale de Z et la première classe de Chern du fibré tautologique (voir [Fu98] Theorem 3.3). Ici, la première classe de Chern du fibré tautologique est σ et

$$\sigma^2 = p^* c_1(\mathbf{E}) \cdot \sigma - c_2(\mathbf{E}) = p^* c_1(\mathbf{M}) \cdot \sigma \quad (voir \text{ [Fu98] Remark 3.2.4)}.$$

Le cycle $q^*\beta$ s'écrit donc

$$q^*\beta = p^*\gamma \cdot \sigma + p^*\delta$$

avec $\gamma \in \mathcal{A}^{k-1}(\mathcal{Y})$ et $\delta \in \mathcal{A}^k(\mathcal{Y})$. Le cycle γ est donné par la formule

$$p_*q^*\beta = \gamma \cdot p_*\sigma = \gamma.$$

Enfin, σ étant contractée par q sur un point de X et le cyle β étant de codimension > 0, on a

$$0 = q^*\beta \cdot \sigma = p^*(\gamma \cdot c_1(M) + \delta) \cdot \sigma.$$

Les cycles γ et δ vérifient donc la relation

$$\delta = -\gamma \cdot c_1(M)$$

et

$$q_*(Z) \cdot \beta = q_*q^*\beta = q_*(p^*\alpha \cdot (\sigma - p^*c_1(M))).$$

Lemme 5.2. Si Y est une variété algébrique connexe, projective et lisse sur C de dimension n et si L est un fibré en droites ample et engendré par ses sections globales sur Y alors le système linéaire $|K_Y + nc_1(L)|$ est sans point base sauf si $(Y, L) \simeq (\mathbf{P}^n, \mathcal{O}_{\mathbf{P}^n}(1))$.

Démonstration. Le diviseur $K_Y + nc_1(L)$ est numériquement effectif si et seulement si $(Y, L) \not\simeq (\mathbf{P}^n, \mathcal{O}_{\mathbf{P}^n}(1))$ (voir [Fu87] Theorem 1). Supposons $(Y, L) \not\simeq (\mathbf{P}^n, \mathcal{O}_{\mathbf{P}^n}(1))$ et montrons le résultat par récurence sur la dimension n de Y.

Si n=1 alors le résultat est immédiat. Supposons $n \geq 2$. Soit $H \in |L|$ un diviseur général. Le groupe $H^1(\mathcal{O}_Y(K_Y+(n-1)H))$ est nul par le théorème d'annulation de Kodaira. L'application de restriction

$$H^0(Y, \mathcal{O}_Y(K_Y + nH)) \longrightarrow H^0(H, \mathcal{O}_H(K_Y + nH))$$

est donc surjective. Le diviseur $(K_Y + nH)_{|H} = K_H + (n-1)H_{|H}$ est numériquement effectif par la formule d'adjonction. Si le sytème linéaire $|K_H + (n-1)H_{|H}|$ est sans point base alors $|K_Y + nH|$ l'est donc également.

Les notations sont celles des paragraphes 2, 3 et 4. Si H'_x est une composante irréductible de H_x nous noterons U'_x , V'_x , σ'_x , ι'_x , π'_x , M'_x et L'_x les variétés, morphismes et fibrés correspondants.

Théorème 5.3. Sous les hypothèses 2.1, si $x \in X$ est général et si U'_x est une composante irréductible de U_x alors le cycle

$$\iota'_{x*}(\mathbf{U}'_x) \cdot (c_2(\mathbf{X}) - \frac{\ell - 1}{2\ell} c_1(\mathbf{X})^2) \in \mathbf{A}_{\ell - 3}(\mathbf{X}) \otimes \mathbf{Q}$$

est effectif.

Démonstration. Si $x \in X$ est général alors les morphismes paramétrés par H'_x sont libres (voir Lemme 3.3) et V'_x est donc lisse sur \mathbf{C} de dimesion $\ell - 2$, où $\ell := c_1(X) \cdot f_*\mathbf{P}^1$ avec $[f] \in H'_x$ (voir paragraphe 3). Si $x \in X$ est toujours un point général et si $[f] \in H'_x$ alors la courbe $f(\mathbf{P}^1)$ est immergée en x (voir [Ke02] Theorem 3.3) : la restriction de la différentielle de l'application ι'_x à $T_{\pi'_x} \subset T_{U'_x}$ définit un morphisme

$$\tau'_r: \mathbf{V}'_r \longrightarrow \mathbf{P}(\mathbf{T}^*_{\mathbf{X},r})$$

qui à $[f] \in V'_x$ associe la droite $df_0(T_{\mathbf{P}_{,0}})$ de $T_{X,x}$ (voir [Ke02] 3.2). Le fibré en droites L'_x est isomorphe au fibré ${\tau'_x}^*\mathcal{O}_{\mathbf{P}(T^*_{X,x})}(1)$ et, puisque τ'_x est fini (voir [Ke02] Theorem 3.4), L'_x est ample et engendré par ses sections globales.

Soit
$$\alpha := -c_1(V_x') + (\ell - 1)c_1(L_x') \in A_{\ell-3}(V_x')$$
. Les formules (voir paragraphe 4)
$$\pi'_{x,*} \iota_x'^* c_1(X)^2 = \ell^2 c_1(L_x')$$

et

$$c_1(V_x') = {\pi_x'}_* {\iota_x'}^* ((\frac{\ell+1}{2\ell} - \frac{1}{\ell^2})c_1(X)^2 - c_2(X))$$

donnent

$$\pi'_{x*}\iota'_{x}^{*}(c_{2}(X) - \frac{\ell - 1}{2\ell}c_{1}(X)^{2}) = \alpha$$

et, d'après le lemme 5.1,

$$\iota'_{x*}(\mathbf{U}'_x) \cdot (c_2(\mathbf{X}) - \frac{\ell - 1}{2\ell}c_1(\mathbf{X})^2) = \iota'_{x*}(\pi'_x{}^*\alpha \cdot (\sigma'_x + \pi'_x{}^*c_1(\mathbf{L}'_x))).$$

Le cycle α est effectif d'après le lemme 5.2 et ${\pi'_x}^*\alpha \cdot \sigma'_x$ et $\alpha \cdot c_1(\mathbf{L}'_x)$ le sont donc aussi. Le théorème est démontré.

Théorème 5.4. Sous les hypothèses 2.1, si $x \in X$ est général et si U'_x est une composante irréductible de U_x alors le cycle

$$\iota'_{x*}(\mathbf{U}'_x) \cdot (c_2(\mathbf{X}) - (\frac{\ell - 1}{2\ell} + \frac{1}{\ell^2})c_1(\mathbf{X})^2) \in \mathbf{A}_{\ell - 3}(\mathbf{X}) \otimes \mathbf{Q}$$

est effectif sauf s'il existe un morphisme fini $\widehat{X} \longrightarrow X$ et une application rationnelle φ : $\widehat{X} \dashrightarrow Z$ dont les fibres générales sont des espaces projectifs sur \mathbb{C} de dimension $\ell-1$, tels que les courbes rationnelles considérées soient les images dans X des droites contenues dans les fibres de φ .

Démonstration. Soit maintenant $\alpha := -c_1(V_x') + (\ell - 2)c_1(L_x') \in A_{\ell-3}(V_x')$ le cycle tel que (voir Lemme 5.1)

$$\iota'_{x*}(\mathbf{U}'_x) \cdot (c_2(\mathbf{X}) - (\frac{\ell - 1}{2\ell} + \frac{1}{\ell^2})c_1(\mathbf{X})^2) = \iota'_{x*}(\pi'_x \alpha \cdot (\sigma'_x + \pi'_x c_1(\mathbf{L}'_x))).$$

Le cycle α est effectif sauf si $(\mathbf{V}_x', \mathbf{L}_x') \simeq (\mathbf{P}^{\ell-2}, \mathcal{O}_{\mathbf{P}^{\ell-2}}(1))$ d'après le lemme 5.2. Si α est effectif alors ${\pi_x'}^*\alpha \cdot \sigma_x'$ et $\alpha \cdot c_1(\mathbf{L}_x')$ le sont également et le cycle

$$\iota'_{x*}(\mathbf{U}'_x) \cdot (c_2(\mathbf{X}) - (\frac{\ell-1}{2\ell} + \frac{1}{\ell^2})c_1(\mathbf{X})^2)$$

est donc effectif dans ce cas. Si $(V_x', L_x') \simeq (\mathbf{P}^{\ell-2}, \mathcal{O}_{\mathbf{P}^{\ell-2}}(1))$ alors

$$\iota'_{x*}(\mathbf{U}'_x) \cdot (c_2(\mathbf{X}) - \frac{\ell - 1}{2\ell}c_1(\mathbf{X})^2) = 0$$

et le cycle

$$\iota'_{x*}(\mathbf{U}'_x) \cdot (c_2(\mathbf{X}) - (\frac{\ell - 1}{2\ell} + \frac{1}{\ell^2})c_1(\mathbf{X})^2) = -\iota'_{x*}(\pi'_x{}^*c_1(\mathbf{L}'_x) \cdot (\sigma'_x + {\pi'_x}^*c_1(\mathbf{L}'_x)))$$

n'est pas effectif sauf si $\ell = 2$, auquel cas, il est nul.

Supposons maintenant que l'ensemble Λ des points de X tels que le cycle

$$\iota'_{x*}(\mathbf{U}'_x) \cdot (c_2(\mathbf{X}) - (\frac{\ell-1}{2\ell} + \frac{1}{\ell^2})c_1(\mathbf{X})^2)$$

ne soit pas effectif pour au moins une composante irréductible \mathbf{U}_x' de \mathbf{U}_x soit dense dans \mathbf{X} . Si $x \in \Lambda$ alors, d'après la discussion qui précède, il existe une composante irréductible \mathbf{V}_x' de \mathbf{V}_x telle que $(\mathbf{V}_x', \mathbf{L}_x') \simeq (\mathbf{P}^{\ell-2}, \mathcal{O}_{\mathbf{P}^{\ell-2}}(1))$. Supposons que pour un point $x \in \mathbf{X}$ général et toute composante connexe \mathbf{V}_x' de \mathbf{V}_x , il existe des isomorphismes $(\mathbf{V}_x', \mathbf{L}_x') \simeq (\mathbf{P}^{\ell-2}, \mathcal{O}_{\mathbf{P}^{\ell-2}}(1))$. Si $x \in \mathbf{X}$ est toujours général et si \mathbf{V}_x' est une composante connexe de \mathbf{V}_x alors τ_x' est une immersion fermée et $\tau_x'(\mathbf{V}_x')$ est un sous-espace linéaire de $\mathbf{P}(\mathbf{T}_{\mathbf{X},x}^*)$. L'existence d'un morphisme fini $\widehat{\mathbf{X}} \longrightarrow \mathbf{X}$ et d'une application rationnelle $\varphi:\widehat{\mathbf{X}} \dashrightarrow \mathbf{Z}$ dont les fibres générales sont des espaces projectifs sur \mathbf{C} de dimension $\ell-1$, tels que les courbes rationnelles considérées soient les images dans \mathbf{X} des droites contenues dans les fibres de φ sont alors démontrées dans [Ar04] (Theorem 3.1).

Supposons donc Λ dense dans X et montrons que pour un point $x \in X$ général et toute composante connexe V_x' de V_x , $(V_x', L_x') \simeq (\mathbf{P}^{\ell-2}, \mathcal{O}_{\mathbf{P}^{\ell-2}}(1))$. Soit

$$c: \operatorname{Hom-b}^n(\mathbf{P}^1, X) \longrightarrow \operatorname{Chow}(X)$$

l'application cycle (voir [Ko96] Corollary I 6.9), donnée par

$$[f] \mapsto f_* \mathbf{P}^1,$$

où Hom-bⁿ(\mathbf{P}^1, X) est la normalisation de Hom-b(\mathbf{P}^1, X). Soit \overline{V} la normalisation de l'adhérence de l'image de H dans Chow(X) et soit \overline{U} la normalisation du cycle universel sur \overline{V} . Le sous-ensemble c(H) est ouvert dans son adhérence. Son image inverse dans \overline{V} est le quotient

géométrique V de H par G et son image inverse dans \overline{U} est le quotient géométrique U de $\mathbf{P}^1 \times \mathbf{H}$ par G (voir [Mo79] Lemma 9). Soient $\bar{\pi}$ et $\bar{\iota}$

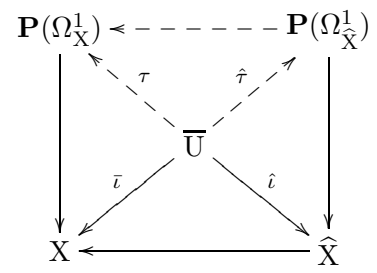
$$\overline{\overline{U}} \xrightarrow{\bar{\iota}} X$$

$$\downarrow_{\bar{\pi}}$$

$$\overline{V}$$

les morphismes naturels. Le morphisme $\bar{\pi}$ est une fibration en droites projectives. Le point essentiel est que l'image de $\bar{U} \setminus U$ par $\bar{\iota}$ est un fermé strict de X puisque le schéma V_x est propre sur C pour $x \in X$ général. Si $x \in X$ est général alors $\bar{\iota}^{-1}(x) \subset U$ et $\bar{\iota}$ est lisse au dessus d'un ouvert non vide de X (voir [Ko96] II 3.5.3 et Lemme 3.3). La restriction de la différentielle de l'application $\bar{\iota}$ à $T_{\bar{\pi}} \subset T_{\bar{1}\bar{1}}$ définit une application rationnelle τ

bien définie au dessus d'un ouvert non vide de X (voir [Ke02] Theorem 3.3). Soit $\hat{\iota}: \overline{U} \longrightarrow \widehat{X}$ la factorisation de Stein de $\bar{\iota}$. Le morphisme $\widehat{X} \longrightarrow X$ est étale au dessus d'un ouvert de X. Soit $\hat{\tau}$ l'application rationnelle définie par la restriction de la différentielle de l'application $\hat{\iota}$ à $T_{\bar{\tau}} \subset T_{\overline{U}}$



qui est bien définie au dessus d'un ouvert non vide de X. Il faut enfin remarquer que le morphisme $U_x \supset \sigma_x \simeq V_x \longrightarrow \bar{\iota}^{-1}(x) \subset U$ est un isomorphisme si $x \in X$ est général.

L'ensemble Λ est dense dans X par hypothèse. L'ensemble des points $\hat{x} \in \widehat{X}$ tels que

$$(\hat{\iota}^{-1}(\hat{x}), \hat{\tau}^* \mathcal{O}_{\mathbf{P}(\Omega^1_{\hat{X}})}(1)_{|\hat{\iota}^{-1}(\hat{x})}) \simeq (\mathbf{P}^{\ell-2}, \mathcal{O}_{\mathbf{P}^{\ell-2}}(1))$$

est donc dense dans \widehat{X} . Le faisceau $\omega_{\overline{U}/\widehat{X}} \otimes \hat{\tau}^* \mathcal{O}_{\mathbf{P}(\Omega^1_{\widehat{X}})}(\ell-1)$ est plat au dessus d'un ouvert non vide de X. Si $\hat{x} \in \widehat{X}$ est un point général alors le faisceau $\omega_{\overline{U}/\widehat{X}} \otimes \hat{\tau}^* \mathcal{O}_{\mathbf{P}(\Omega^1_{\widehat{X}})}(\ell-1)_{|\hat{\iota}^{-1}(\hat{x})}$ est engendré par ses sections globales (voir Lemme 5.2) et trivial au dessus d'un point de Λ . L'ensemble des points de \widehat{X} où l'espace des sections de ce faisceau est de dimension 1 est en particulier ouvert dans \widehat{X} (voir [Ha77] Theorem 12.8) et non vide par hypothèse. Le faisceau $\omega_{\overline{U}/\widehat{X}} \otimes \hat{\tau}^* \mathcal{O}_{\mathbf{P}(\Omega^1_{\widehat{X}})}(\ell-1)$ est donc trivial pour $\hat{x} \in \widehat{X}$ général et, d'aprés le critère de Kobayashi et Ochiai (voir [KO73]),

$$(\hat{\iota}^{-1}(\hat{x}), \hat{\tau}^* \mathcal{O}_{\mathbf{P}(\Omega^1_{\hat{X}})}(1)_{|\hat{\iota}^{-1}(\hat{x})}) \simeq (\mathbf{P}^{\ell-2}, \mathcal{O}_{\mathbf{P}^{\ell-2}}(1)).$$

ce qui démontre le résultat annoncé plus haut.

Proposition 5.5. Sous les hypothèses 2.1, le cycle

$$\iota_{x*}(\mathbf{U}_x)\cdot(c_2(\mathbf{X})-\frac{\ell-1}{2\ell}c_1(\mathbf{X})^2)\in\mathbf{A}_{\ell-3}(\mathbf{X})\otimes\mathbf{Q}$$

est nul pour $x \in X$ général si et seulement s'il existe un morphisme fini $\widehat{X} \longrightarrow X$ et une application rationnelle $\varphi : \widehat{X} \longrightarrow Z$ dont les fibres générales sont des espaces projectifs sur

C de dimension $\ell-1$, tels que les courbes rationnelles considérées soient les images dans X des droites contenues dans les fibres de φ .

Démonstration. Si le cycle

$$\iota_{x*}(\mathbf{U}_x) \cdot (c_2(\mathbf{X}) - \frac{\ell - 1}{2\ell} c_1(\mathbf{X})^2) \in \mathbf{A}_{\ell - 3}(\mathbf{X}) \otimes \mathbf{Q}$$

est nul pour $x \in X$ général alors

$$(V_x', L_x') \simeq (\mathbf{P}^{\ell-2}, \mathcal{O}_{\mathbf{P}^{\ell-2}}(1))$$

pour toute composante connexe V_x' de V_x (voir Théorème 5.3) et le Theorem 3.1 de [Ar04] donne la conclusion cherchée.

Inversement, supposons qu'il existe un morphisme fini $\nu: \widehat{X} \longrightarrow X$ et une application rationnelle $\varphi: \widehat{X} \longrightarrow Z$ dont les fibres générales sont des espaces projectifs sur \mathbf{C} de dimension $\ell-1$, tels que les courbes rationnelles considérées soient les images dans X des droites contenues dans les fibres de φ . Soit $F \simeq \mathbf{P}^{\ell-1}$ une fibre générale de φ et $j: F \hookrightarrow \widehat{X}$ l'immersion fermée de F dans \widehat{X} . La formule de projection donne

$$F \cdot \nu^* (c_2(X) - \frac{\ell - 1}{2\ell} c_1(X)^2) = j_* (c_2(F) - \frac{\ell - 1}{2\ell} c_1(F)^2)$$

= 0

et

$$\iota_{x*}(\mathbf{U}_{x}) \cdot (c_{2}(\mathbf{X}) - \frac{\ell - 1}{2\ell}c_{1}(\mathbf{X})^{2}) = \nu_{*}(\mathbf{F}) \cdot (c_{2}(\mathbf{X}) - \frac{\ell - 1}{2\ell}c_{1}(\mathbf{X})^{2})$$

$$= \nu_{*}(\mathbf{F} \cdot \nu^{*}(c_{2}(\mathbf{X}) - \frac{\ell - 1}{2\ell}c_{1}(\mathbf{X})^{2}))$$

$$= 0.$$

Remarque 5.6. Supposons que la différentielle de τ'_x s'annule en codimension 1 et soit $D'_x \subset V'_x$ le diviseur de V'_x tel que l'application induite

$$T_{V'_x} \longrightarrow {\tau'_x}^* T_{\mathbf{P}(T^*_{\mathbf{X}_x})}(-D'_x)$$

soit non nulle en codimension 1. Son conoyau Q est localement libre en codimension 1. Le fibré $\tau'_x{}^*\mathrm{T}_{\mathbf{P}(\mathrm{T}^*_{\mathrm{X},x})}\otimes\mathrm{M}'_x$ étant engendré par ses sections globales, le faisceau $\mathrm{Q}\otimes\mathcal{O}_{\mathrm{V}'_x}(\mathrm{D}'_x)\otimes\mathrm{M}'_x$ l'est également.

Lemme 5.7. Soit Y une **C**-variété régulière de dimension $n \geq 1$. Si G est un faisceau cohérent, localement libre en codimension 1 et engendré par ses sections globales alors le cycle $c_1(G) \in A(Y)$ est effectif.

Démonstration. Le faisceau G est localement libre sur un ouvert $Y_0 \subset Y$ dont le complémentaire est de codimension au moins 2 dans Y et $G_{|Y_0}$ est également engendré par ses sections globales. Notons i l'inclusion de Y_0 dans Y. L'application $i^*: A_{n-1}(Y) \longrightarrow A_{n-1}(Y_0)$ étant un isomorphisme, il suffit de traiter le cas où G est localement libre et engendré par ses sections globales, qui est immédiat.

Soit $\alpha := c_1(Q \otimes \mathcal{O}_{V_x'}(D_x') \otimes M_x') \in A_{\ell-3}(V_x')$. Le cycle α est effectif d'après le lemme 5.7,

$$c_{1}(\mathbf{V}'_{x}) = c_{1}(\mathbf{L}'_{x}) + (n-1)(c_{1}(\mathbf{L}'_{x}) - \mathbf{D}'_{x}) - c_{1}(\mathbf{Q})$$

$$= c_{1}(\mathbf{L}'_{x}) + (n-1)(c_{1}(\mathbf{L}'_{x}) - \mathbf{D}'_{x}) + (n-\ell+1)(-c_{1}(\mathbf{L}'_{x}) + \mathbf{D}'_{x}) - \alpha$$

$$= (\ell-1)c_{1}(\mathbf{L}'_{x}) - (\ell-2)\mathbf{D}'_{x} - \alpha$$

et

$$\iota'_{x*}(\mathbf{U}'_x)\cdot(c_2(\mathbf{X})-\frac{\ell-1}{2\ell}c_1(\mathbf{X})^2)=\frac{1}{2\ell}\iota'_{x*}(\pi'_x{}^*((\ell-2)\mathbf{D}'_x+\alpha)\cdot(\sigma'_x+\pi'_x{}^*c_1(\mathbf{L}'_x))).$$

La description géométrique du support de D'_x est donnée par le résultat suivant.

Lemme 5.8 (voir [Ar04] Proposition 2.7). Le morphisme τ_x' est une immersion en $[f] \in V_x'$ si et seulement si $f^*T_X \simeq \mathcal{O}_{\mathbf{P}^1}(2) \oplus \mathcal{O}_{\mathbf{P}^1}(1)^{\oplus \ell-2} \oplus \mathcal{O}_{\mathbf{P}^1}^{\oplus n-\ell+1}$.

Références

- [Ar04] C. Araujo, Rational curves of minimal degree and characterizations of \mathbf{P}^n , preprint math.AG/04010584.
- [CO75] B. Chen, K. Ogiue, Some characterizations of complex space forms in terms of Chern classes, Quart. J. Math. Oxford 26 (1975), 459-464.
- [De01] O. Debarre, Higher-dimensional algebraic geometry, Universitext, Springer-Verlag, 2001.
- [DPS94] J.-P. Demailly, T. Peternell, M. Schneider, Compact complex manifolds with numerically effective tangent bundles, J. of Algebraic Geometry 3 (1994), 295-345.
- [Dr04] S. Druel, Caractrisation de l'espace projectif, Manuscripta Math. 115 (2004), 19-30.
- [Fu87] T. Fujita, On polarized manifolds whose adjoint bundles are not semipositive, Adv. Stud. Pure Math. 10 (1987), 167-178.
- [Fu98] W. Fulton, Intersection theory, Second edition, Ergebnisse der Mathematik und ihre Grenzgebiete 3, Springer-Verlag, 1998.
- [Ha77] R. Hartshorne, Algebraic Geometry, Graduate Texts in Mathematics 52, Springer-Verlag, 1977.
- [Ke02] S. Kebekus, Families of singular rational curves, J. of Algebraic Geometry 11 (2002), 245-256.
- [KO73] S. Kobayashi, T. Ochiai, Characterization of complex projective spaces and hyperquadrics, J. Math. Kyoto Univ. 13 (1973), 31-47.
- [Ko96] J. Kollár, Rational curves on algebraic varieties, Ergebnisse der Mathematik und ihre Grenzgebiete 32, Springer-Verlag, 1996.
- [Lü82] M. Lübke, Chernklassen von Hermite-Einstein Vectorbündeln, Math. Ann. 260 (1982), 133-141.
- [Mo79] S. Mori, Projective manifolds with ample tangent bundles, Ann. of Math. 110 (1979), 593–606.
- [Ti02] G. Tian, Canonical metrics in Kähler geometry, Lect. in Math. ETH, Birkhäuser (2000).

Stéphane Druel, Institut Fourier, UMR 5582 du CNRS, Université Joseph Fourier, BP 74, 38402 Saint Martin d'Hères, France.

E-mail address: druel@ujf-grenoble.fr